

電力中央研究所 ○正 上島 照幸  
正 岩橋 敏宏  
準 池田 義博

### 1.はじめに

軟質地盤上でソイルセメント系材料を用いた地盤改良を行ない、その削減効果を各種試験・観測を通じて検討していることを文献1で報告した。地震観測結果によれば、図1のA,B両改良基礎共に水平動に対する大きい削減効果があることが明らかであるが、このうちA基礎については動特徴モデルによるシミュレーションを行なって、削減効果を裏付ける解析結果を得ている。今回も、主として円盤形のB改良基礎について数値シミュレーションを試み、その削減効果について考察を行なったので報告する。

### 2. 地震観測

今回も、前回までの観測点の配置換えを行ない、円盤形改良による削減効果のメカニズムをより詳細に把握しようと、図1のようないずれか配置とした。前回観測は計13ヶの観測記録を得たが、今回の観測では計4ヶの地震データを得ている。これらの観測記録のスペクトル解析から伝達関数を求め、数値解析結果と比較した。なお、当地点の地盤物性等については、文献1を参照されたい。(A,B基礎とも円盤部直径約30m、厚さ2m。寸法についても文献1参照)

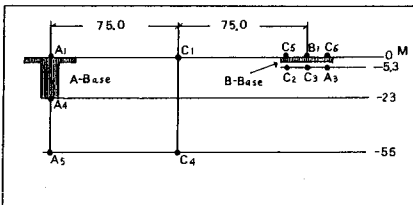


図-1. 地震観測点配置

### (1). 解析手法

解析手法は動特徴系E.M. (CRAS) と擬似3次元の平面差分解析 (FLUSH) を使用した。今回のようないずれか円盤形改良基礎による削減効果の現象へのアプローチとして、いわゆる「入力損失」的見方もあるが、これについては別途報告されるので(文献2)，ここでは位相差のない平面波入力による解析でこうした現象をどの程度説明しうるかを検討した。

### (2). 伝達関数のシミュレーション結果

図2に示すごとく、観測例すれば  $A_1/C_1$  は 1 以下かつ顕著な周波数特性を示しておらず、地盤改良による削減効果は明らかである。数値解析結果は、動特徴系、擬似3次元解析とも観測とよく伝達特性をひらく表現していること考えられる。CRASとFLUSHでは、細部の差異がやや異なっているが、両者における差異は顕著ではない。一方、3Hz以上では計算値は実測値をやや上回っている。

一方、図3に示すごとく、 $B_1/C_1$  は実測では 0.45Hz, 1Hz近辺に鋭いピークを持ちつつ全体として周波数と共に減衰していくが、これが2倍程度の改良であるても全体的にはローパスフィルタ的特性を示すことがわかる。これに対して計算結果はいかにも石下式の傾向を示し、ローパスフィルタ的特性はある程度

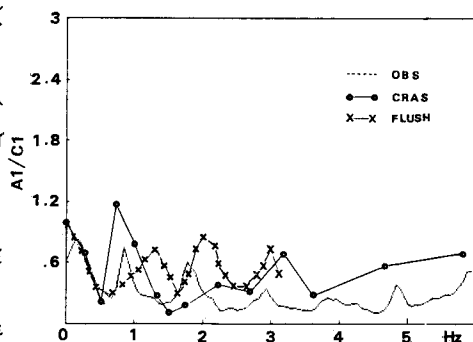


図-2. A基礎(A1)とC1間の伝達関数

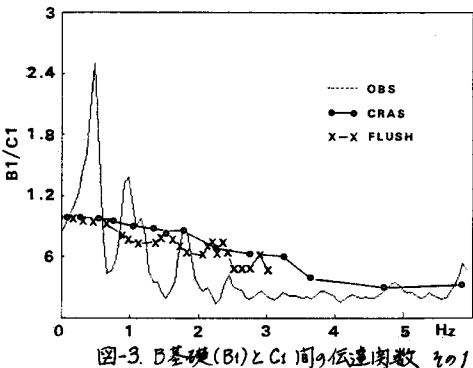


図-3. B基礎(B1)とC1間の伝達関数

表めしていわものゝ、実測値ほどの減衰を示していないが、また低周波数域のピークは表現されていない。これらのピークは在来表面とB基礎工の卓越周波数の相違に起因するものであつたが、この差異の原因として基礎-地盤系のカッピングが考えられるための、改良物モデルを種々変化させて検討した。しかし、こうした現象を説明するにはできなかつた。

(3). シミュレーション・モデルの改良 そこで今日の観測に基づき、 $B_1/C_3$  の伝達関数を求めたところ、図4が得られた。これによれば、図3中の0.45Hz近辺のピークは見られず、1Hz近辺に顕著なピークが存在する。 $B_1/C_3$  を数値計算によって求めても、同図中に示されたように実測値を比較的良好に模擬することができた。このことから $B_1/C_1$  の0.45Hzのピークは基礎-地盤系のカッピングに起因するものではなく、 $C_1$  地盤と $B_1$  地盤の地盤構造の差異によるものと推定される。

そこで弹性波速度値に若干の修正を加え、相互の地盤モデルを変更して計算を実施した。結果を図5に示す。同図から明らかなように、実測の $B_1/C_1$  の0.45Hz、1.5Hz等のピークをかなり良く模擬できており、かつ周波数と共に減衰する傾向も表現されている。図3と比較すれば、この計算結果の改良度には著しいものがある。このことは、在来地盤( $C_1$ )と改良地盤( $B_1$ )間の伝達関数が地盤の局所的な構造の相違に非常に大きく依存する事を示しており、地表面形から基礎への入力波形を成る際には、こうした影響を十分に注意しなければならないことを示すものと考えられる。

(4). 基礎のフィルタ特性 以上のようへ、 $B_1/C_1$  の右ピークについては平面波解析でかなりの精度で模擬できる見通しについたが、B基礎のローパスフィルタ的特性についてはどうであらうか。図6のOBS. およびCAL. は右々実測と理論値の移動平均をとり、原データにあたるピークを取り除いて全体的な傾向を抽出したものである。今回の解析は周波数領域も小さく、精度的にも問題があるが、両者を比べると、理論曲線は実測に比べ振幅が約2倍ほど大きいものの、周波数に従つた減衰の傾向、即ち基礎のローパス的特性は実測のそれと比較的良い対応を示しているといえよう。橋脚の相違については更につめる必要があるが、この結果は基礎のフィルタ効果について、入力損失の考え方のほかに、地盤構造のlocalityを参考れば、今回のようは位相差のない平面波入力解析からも、ある程度説明あることを出来るとして示唆するものと考えられる。

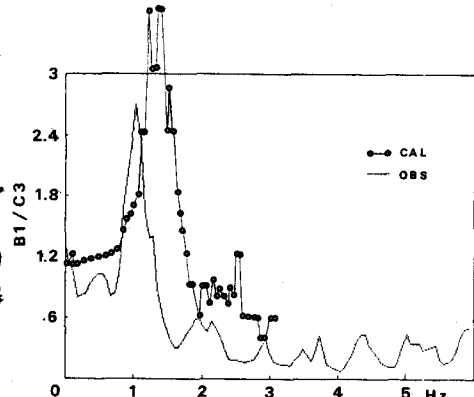


図4. B基礎上( $B_1$ )と直下( $C_3$ )間の伝達関数

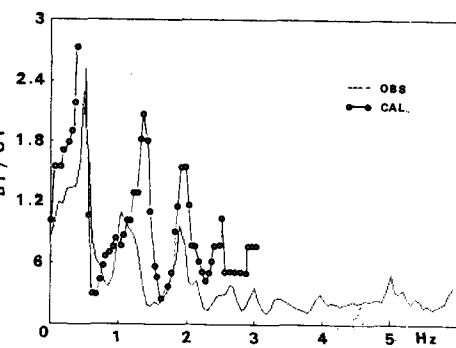


図5.  $B_1$  と  $C_3$  間の伝達関数 3.92

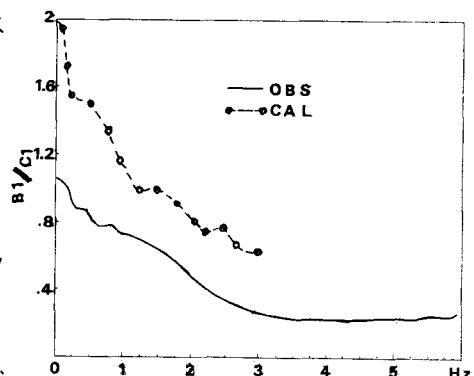


図6. B基礎のフィルター特性

文献1 ソイルセメント系地盤改良による耐震効果 その1(土質調査), その4(地震観測), その6(シミュレーション) 電通所 吉田・沢田・岩橋・上島ら 第15回国土工学会研究発表会(5.55)

文献2 セメント系材料による改良地盤の耐震効果のシミュレーション 清水建設 TT監他 第35回土木学会年次学術講演会(5.55)